

Navigation autonome en environnement dynamique : une approche par déformation de trajectoire

Thèse de doctorat en Mathématiques et Informatique
présentée par Vivien DELSART
dirigée par Thierry FRAICHARD
INRIA, DGA, CNRS-LIG, Université de Grenoble



UNIVERSITÉ DE GRENOBLE

Robotique – Navigation Autonome

But

- Se déplacer en toute autonomie

Problématiques

- Où suis et qu'y a-t-il autour de moi?
- Comment rejoindre le but à partir de ma position initiale?
- Comment exécuter ce mouvement?



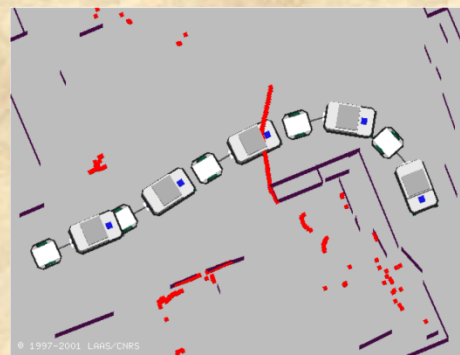
Détermination du mouvement

Objectifs

- Mener à un but déterminé
- Respecter les contraintes du mouvement du robot
- Eviter toutes collisions



Approche proposée :
Déformation de
trajectoire



Plan

- I. Approches de navigation existantes
- II. Déformation de mouvement
- III. Génération de trajectoires en temps contraint
- IV. Résultats expérimentaux
- V. Conclusions et perspectives

Plan

- I. **Approches de navigation existantes**
- II. Déformation de mouvement
- III. Génération de trajectoires en temps contraint
- IV. Résultats expérimentaux
- V. Conclusions et perspectives

Approches délibératives

- Calcul d'un plan complet vers le but
- Nécessite un modèle complet de l'environnement
- Détermination du mouvement à priori

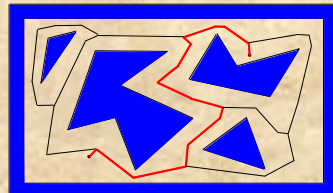
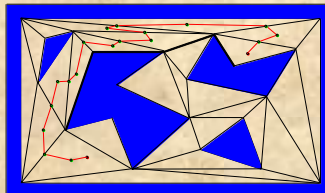
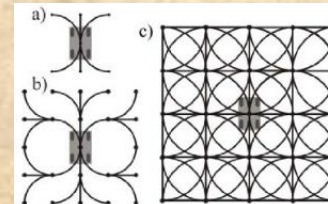


Diagramme de Voronoi

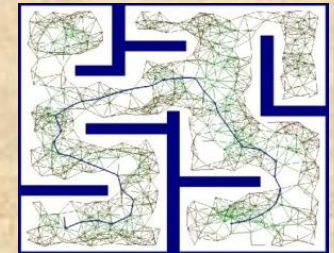
[Aurenhammer91]



Décomposition cellulaires [Lingas82]



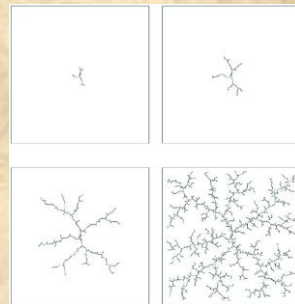
Treillis de l'espace d'état [Pivtoraiko05]



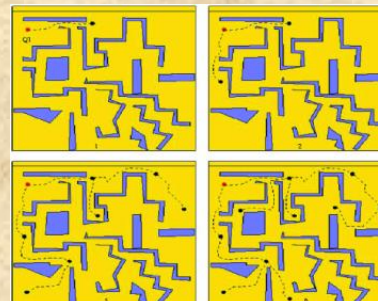
PRM [Kravaki96]

- Par graphe

- Par arbre



RRT [Lavalle98]

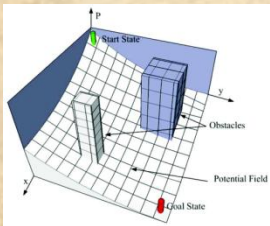


Fil d'Ariane [Bessière93]

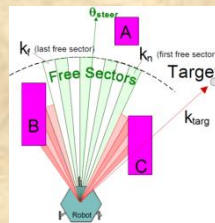
- Problème : complexité
- Limitations de sa mise en œuvre en environnement dynamique

Approches réactives

- Calcul du mouvement pour le pas de temps suivant
- Acquisition des informations sur l'environnement au cours du temps



Champs de potentiels
[Khatib86]



VFH
[Borenstein91]

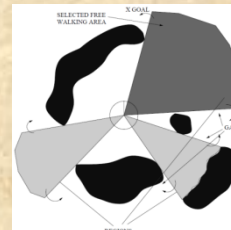
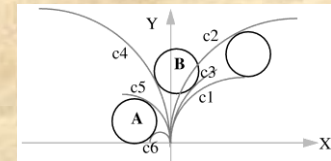
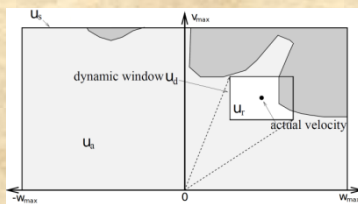


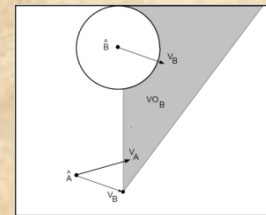
Diagramme de proximité
[Minguez00]



Méthode courbure-vélocité
[Simmons96]



Fenêtre dynamique
[Fox97]



Obstacles vélocité
[Fiorini98]

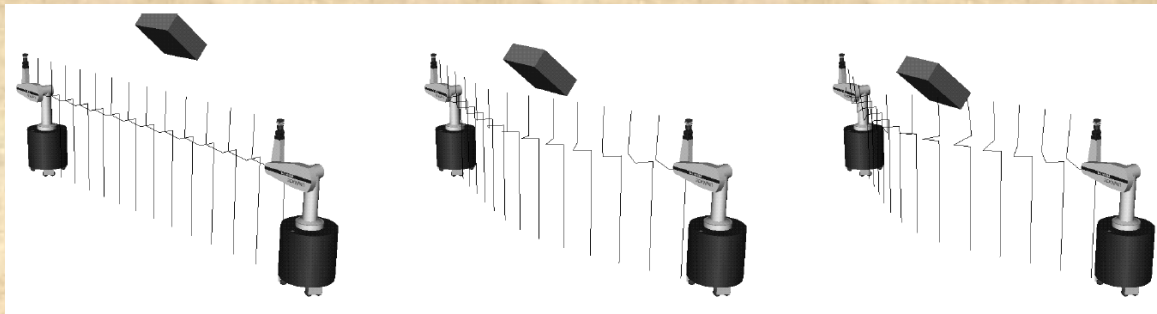


Etats de collision
inévitables [Martinez-
Gomez08]

- Problème : convergence vers le but

Approches intermédiaires

- Approches hybrides : combinaisons d'approches délibératives/réactives
- Replanification
- Planification partielle de mouvement
- Déformation de mouvement



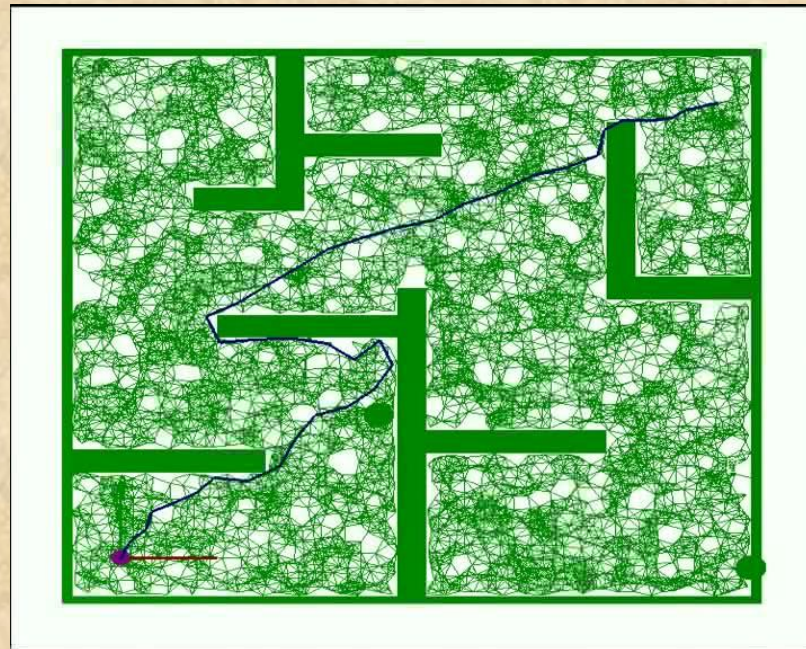
Plan

- I. Approches de navigation existantes
- II. Déformation de mouvement
- III. Génération de trajectoires en temps contraint
- IV. Résultats expérimentaux
- V. Conclusions et perspectives

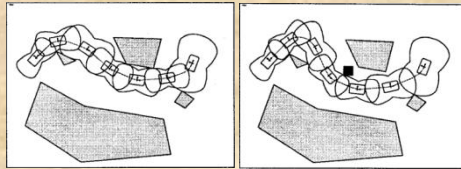
Déformation de mouvement

Principe général

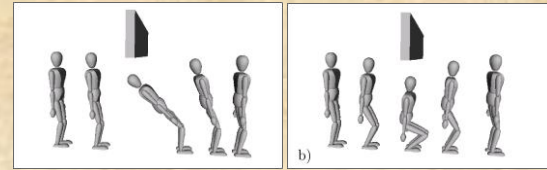
- Mouvement initial complet calculé
- Modifie le mouvement suivi au cours de son exécution
 - Évitement d'obstacles
 - Conserve la convergence vers le but



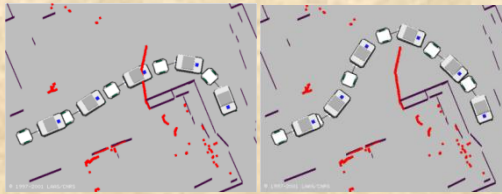
Déformation – approches existantes



Bande élastique NH [Khatib97]



Bande élastique [Brock02]



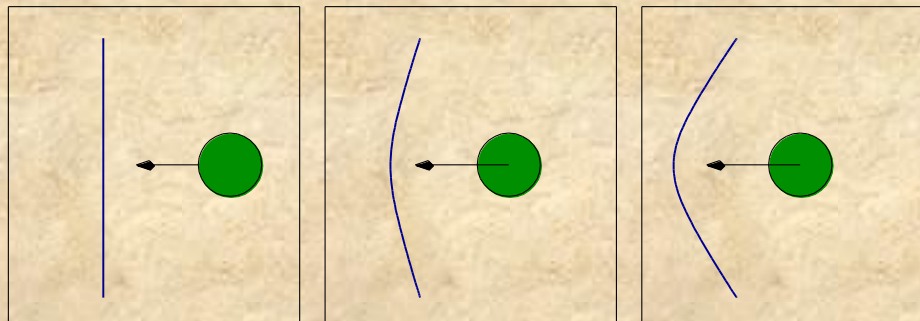
Déformation variationnelle
[Lamiroux04]



CHOMP[Ratliff09]

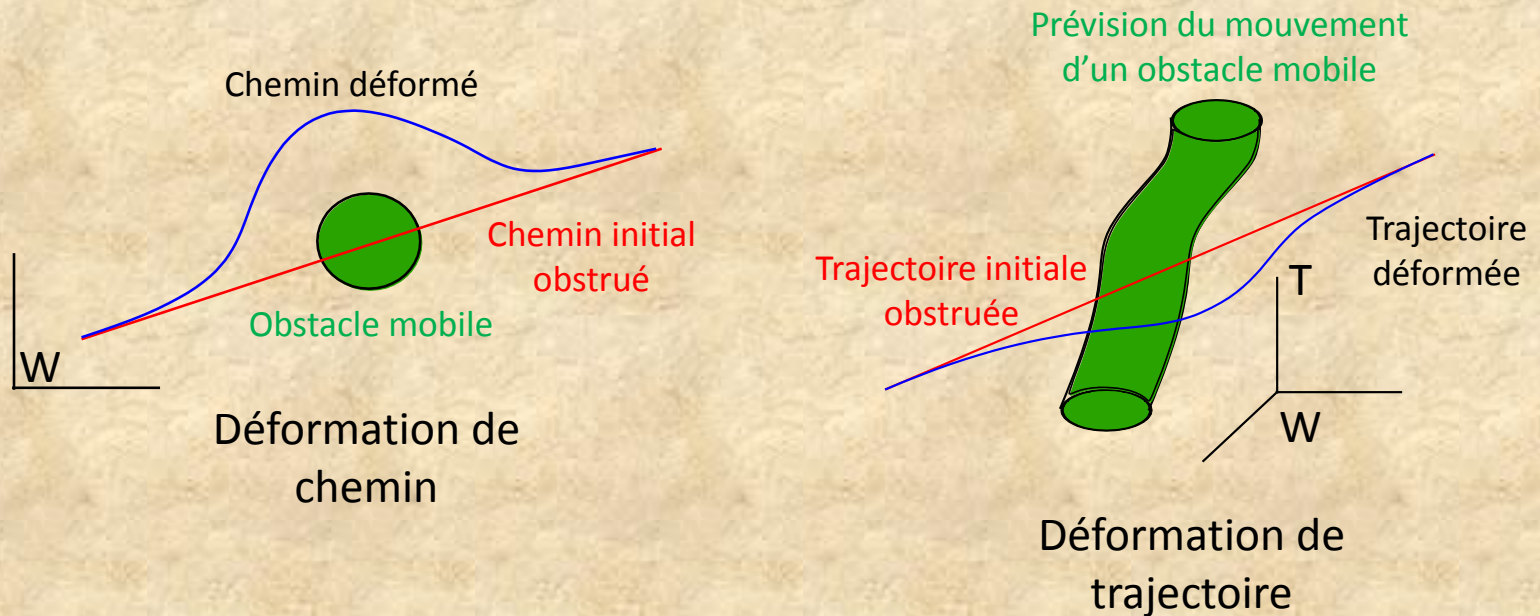
Chemin : courbe géométrique de l'espace

- Déformations à partir des informations sur la position courante des obstacles uniquement



Déformation de trajectoire - Teddy

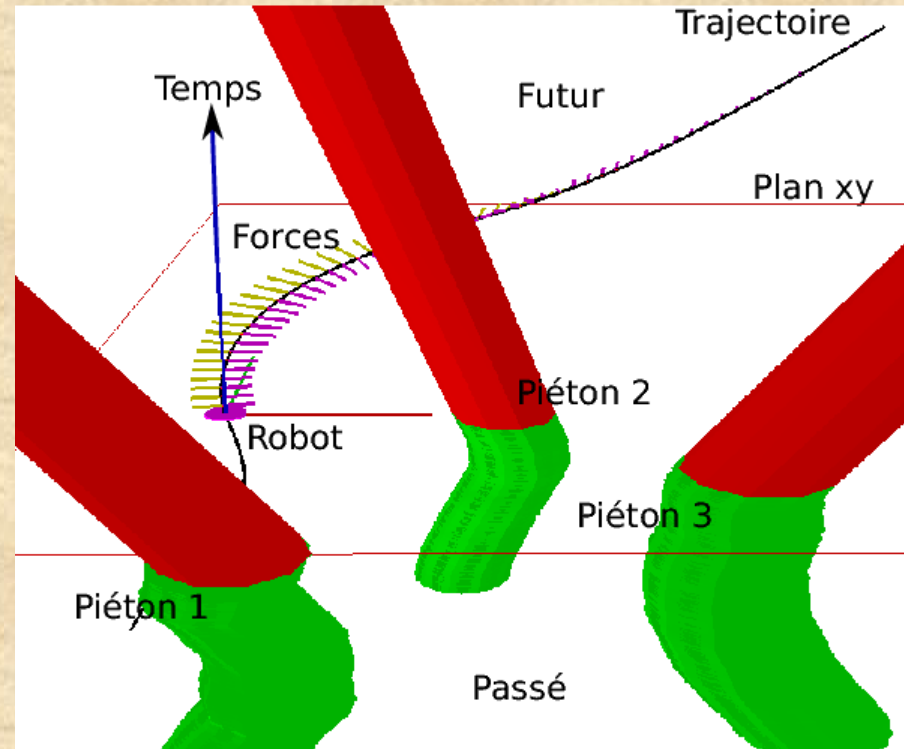
Trajectoire = chemin géométrique paramétré par le temps



- Raisonnement sur l'espace-temps
- Déformations spatiales et temporelles

Comment déformer?

- Discrétisation de la trajectoire en une séquence de nœuds (états-temps)
- Modèle prévisionnel du futur des obstacles mobiles
- Forces appliquées sur la trajectoire
- Décroissance de l'amplitude des forces au cours du temps
- Difficulté : Maintien de la faisabilité de la trajectoire



Comment déformer?

Entrées : $\{n_k, n_{k+1} \dots n_N\}$, modèle prévisionnel $B(t_m, t_h)$

// Applications des forces répulsives et élastiques

pour chaque n_i faire

$$n'_i = n_i + F_{rep}(n_i) + F_{ela}(n_i)$$

fpour

// Restauration de la cohérence temporelle

pour chaque n'_i faire

$$n''_i = n'_i + F_{ct}(n'_i)$$

fpour

// Maintient de la faisabilité par gén. de traj.

pour chaque n''_i faire

$$\hat{n}_i = n''_i + F_{conn}(n''_i)$$

fpour

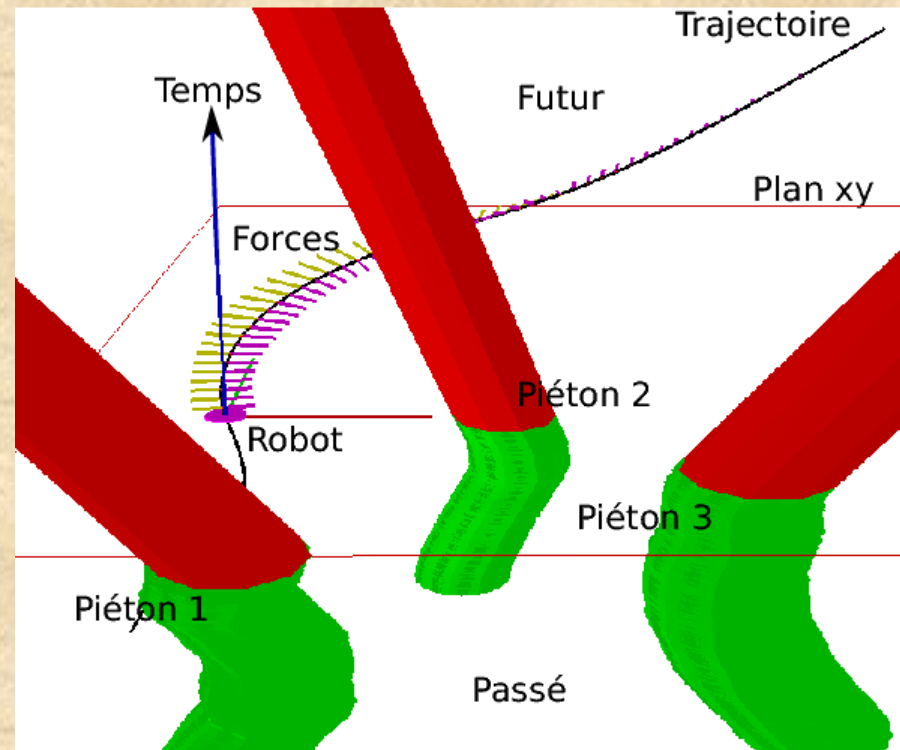
// Vérification de la validité de la trajectoire

si *non valide* $\{\hat{n}_k, \hat{n}_{k+1} \dots \hat{n}_{\hat{N}}\}$ alors

Appel du planificateur global

fsi

Retourner $\{\hat{n}_k, \hat{n}_{k+1} \dots \hat{n}_{\hat{N}}\}$



Forces répulsives

- But : évitement d'obstacles
- Définies dans SxT

En pratique :

- Points de contrôle dans WxT
- Champ de potentiel dans WxT :

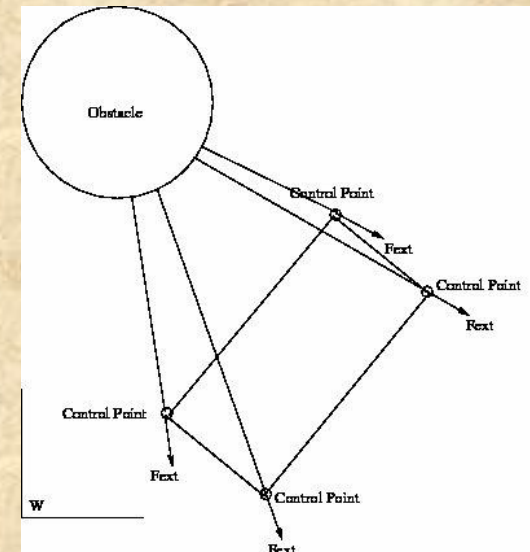
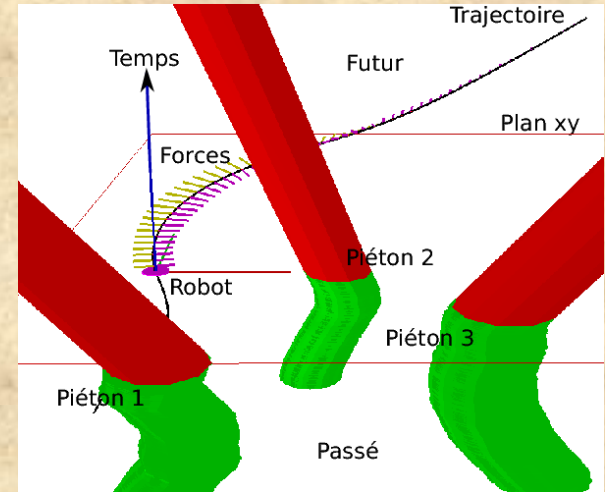
$$V_{rep}(c_i^j) = \begin{cases} k_{rep}k_h(t_i)(d_0 - d_{wt}(c_i^j))^2 & \text{si } d_{wt}(c_i^j) < d_0 \\ 0 & \text{sinon} \end{cases}$$

- Dans CxT :

$$F_{rep}^{CT}(q, t_i) = \sum_{j=1}^r J_{c_i^j}^T(q, t_i) F_{rep}^{WT}(c_i^j)$$

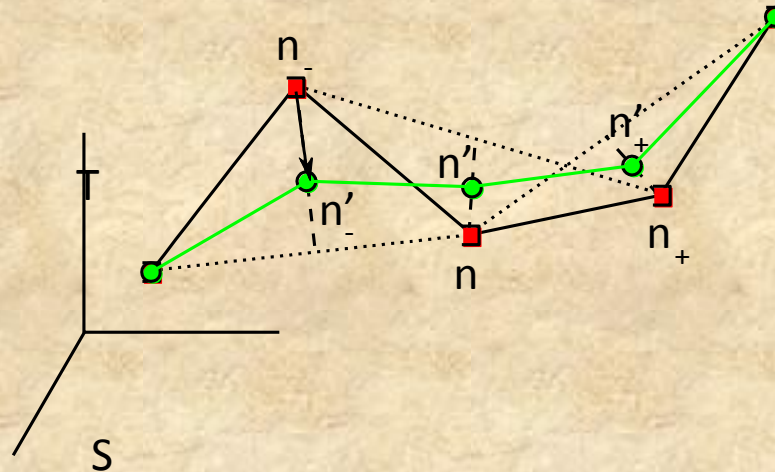
$$J_{c_i^j}^T(q, t_i) = \begin{pmatrix} \frac{\partial q^1}{\partial p_1^j} & \dots & \frac{\partial q^1}{\partial p_m^j} & 0 \\ \vdots & \ddots & \vdots & \vdots \\ \frac{\partial q^n}{\partial p_1^j} & \dots & \frac{\partial q^n}{\partial p_m^j} & 0 \\ 0 & \dots & 0 & 1 \end{pmatrix}$$

- Dans SxT : paramètres d'état inchangés



Forces élastiques

But : limiter la longueur du chemin et les variations le long de la trajectoire



$$n_- = (s_-, t_-), \quad n = (s, t), \quad n_+ = (s_+, t_+)$$

$$F_{ela}^{WT}(n) = \begin{cases} k_{ela}(\frac{1}{2}n_- + \frac{1}{2}n_+ - n) & \text{si } d_{wt}(c_i^j) \geq d_0 \quad \forall j \in [1; r] \\ 0 & \text{sinon} \end{cases}$$

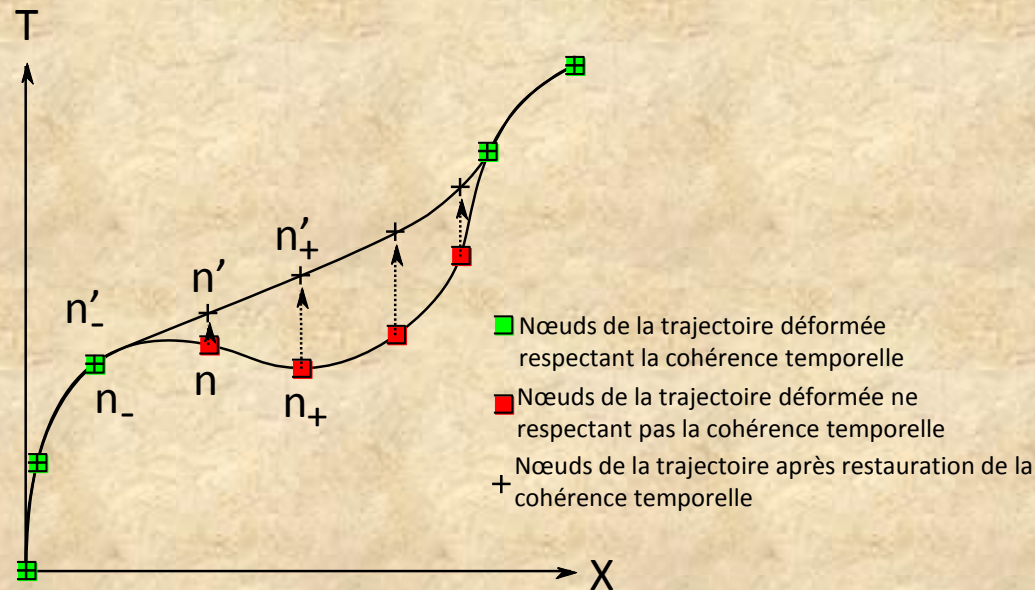
Noeuds de la trajectoire déformée déplacés librement dans SxT

=> Faisabilité du mouvement?

Restauration de la cohérence temporelle

But : s'assurer que chaque nœud de la trajectoire dispose d'un temps minimal pour être atteint à partir de son prédécesseur

- Pour chaque point de contrôle : détermination d'une vitesse max
- Temps de chaque nœud modifié par rapport à son prédécesseur

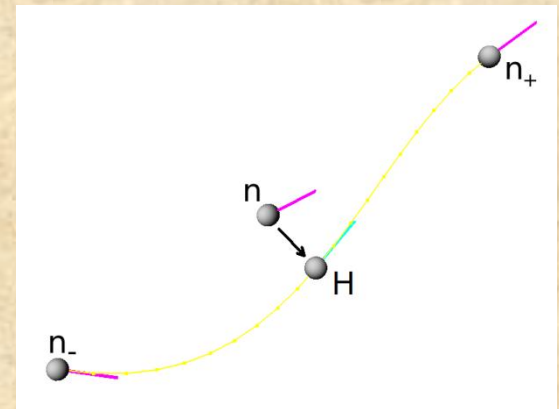
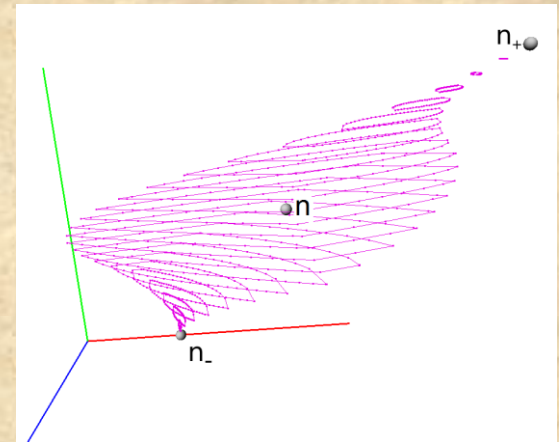


Restauration de la faisabilité par génération de trajectoire (1)

- Critère de faisabilité :
 $n \in R(n_-) \cap R^{-1}(n_+)$
- Calcul d'espace atteignables coûteux
=> génération d'une trajectoire Γ entre
 n_- et n_+

Force attractive de n vers l'état-temps défini au temps moyen $H = \Gamma(\frac{t_- + t_+}{2})$

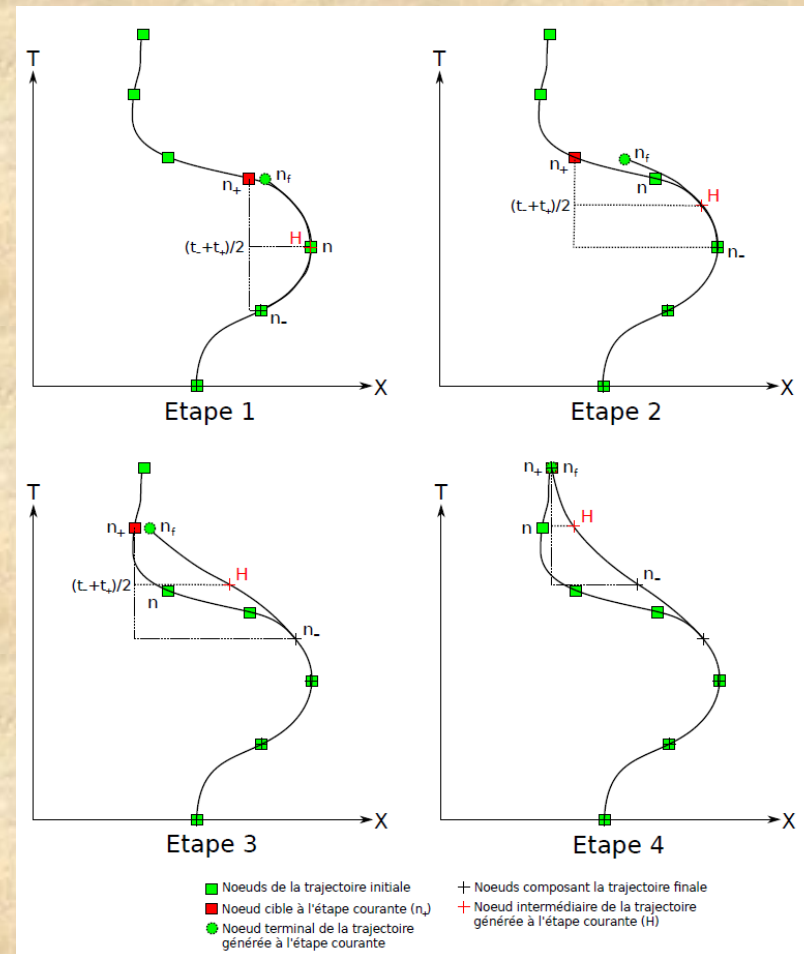
- Problème : si $n_+ \notin R(n_-)$?



Restauration de la faisabilité par génération de trajectoire (2)

- Calcul d'une trajectoire jusqu'à lorsqu'il est atteignable
- Calcul d'une trajectoire s'arrêtant « aussi près que possible » de n_+ sinon
- Génération de trajectoire entre chaque triplé d'états-temps successifs

Problème : A notre connaissance, un tel générateur de trajectoire n'existait pas



Plan

- I. Approches de navigation existantes
- II. Déformation de mouvement
- III. Génération de trajectoires en temps contraint
- IV. Résultats expérimentaux
- V. Conclusions et perspectives

Génération de mouvement classique : Objectif

- Déterminer un mouvement pour un système donné
 - Entre deux états s_0 et s_g fixés
 - Respectant les contraintes sur le mouvement du robot
 - En un temps limité

- Dynamique du système robotique :

$$\dot{s} = f(s, u)$$

- Contraint par :

$$\begin{cases} h_s(s) \leq 0 \\ h_u(u) \leq 0 \end{cases}$$

Problème de génération de mouvement :

Trouver : $\tilde{u} : ([0; t_f] \longrightarrow U, t \longmapsto u(t))$

Sujet à :

$$\begin{cases} s_f = s_g \\ h_s(s) \leq 0 \\ h_u(u) \leq 0 \end{cases}$$

Ajout de la contrainte sur le temps final - Tiji

Dans le cadre de la déformation :

⇒ Déformation entre deux états s_0 et s_g donnés à des temps t_0 et t_f fixés

Trouver : $\tilde{u} : ([0; t_f] \longrightarrow U, t \longmapsto u(t))$

Sujet à :

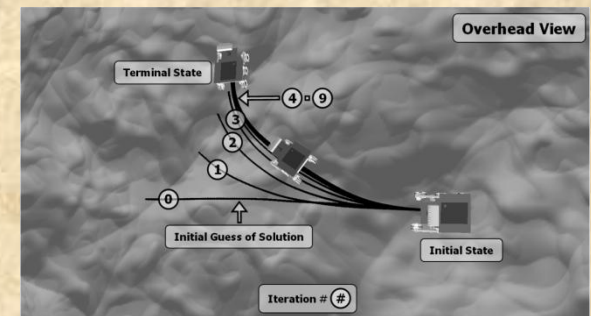
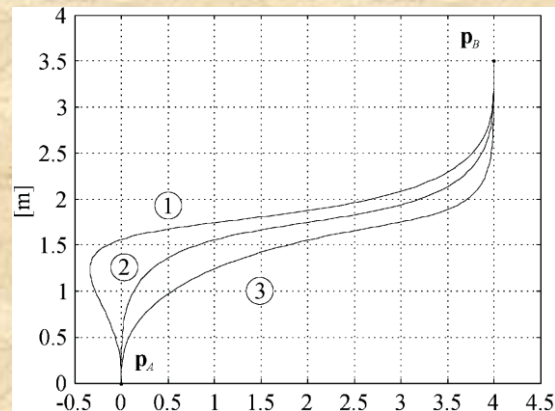
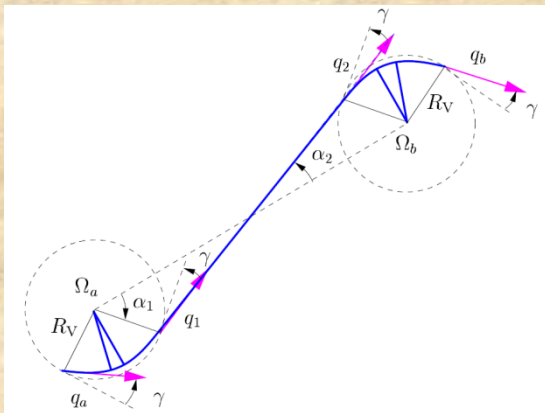
$$\begin{cases} s_f = s_g \\ h_u(u) \leq 0 \\ h_s(s) \leq 0 \\ t_f = t_g \quad (t_{min} \leq t_f \leq t_{max}) \end{cases}$$

Problème : Aucune garantie de l'existence d'une solution

- Calcul d'une trajectoire s'arrêtant « aussi près que possible » du but
- Minimisation de la distance $\|s_f - s_g\|$

Approches de génération de trajectoires existantes

- Combinaisons de primitives simples
- Résolution d'un problème aux limites
- Recherche d'un contrôle optimal

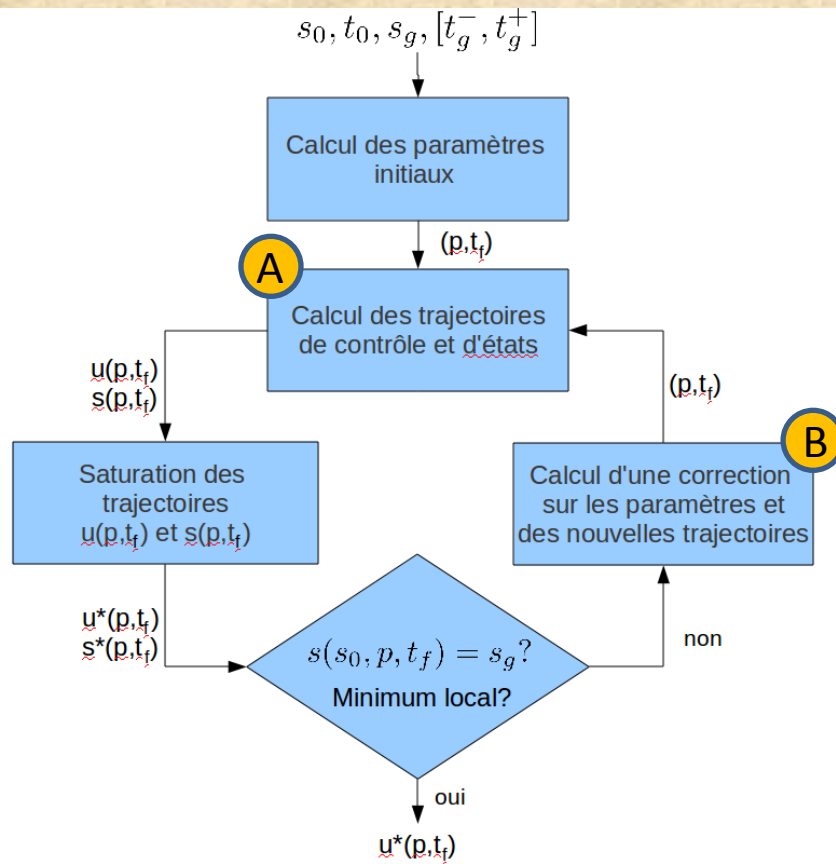
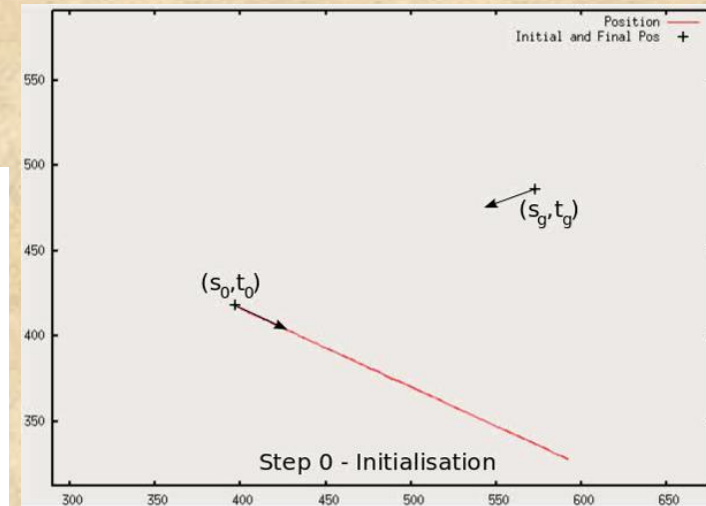


Résolution par méthode variationnelle

Représentation paramétrique des trajectoires de contrôles et d'états

$$u(t) = u(p, t) \quad s(t) = s(p, t)$$

- But : réduction de l'espace de recherche
- Exemples : paramètres d'un polynôme, d'une spline, etc.



(A)

$$u(t) = u(p, t)$$

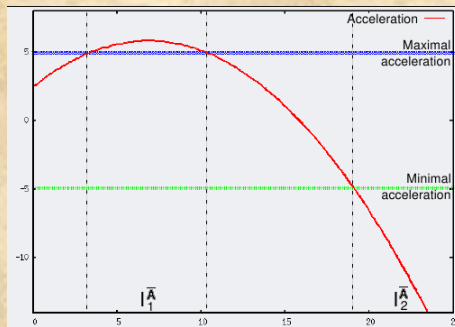
$$s(t) = \int_{t_0}^{t_f} f(s, u) dt$$

(B)

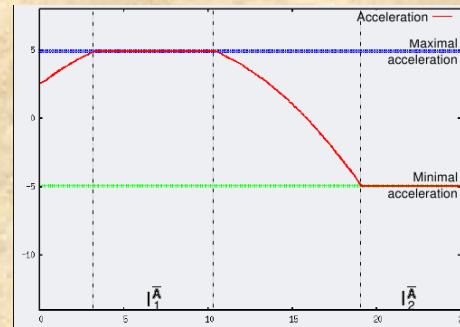
$$cor_{(p, t_f)} = -\lambda \left[\frac{\partial^2 J}{\partial (p, t_f)^2} \right]^{-1} \left[\frac{\partial J}{\partial (p, t_f)} \right]$$

Saturation et annulation de la trajectoire de contrôles

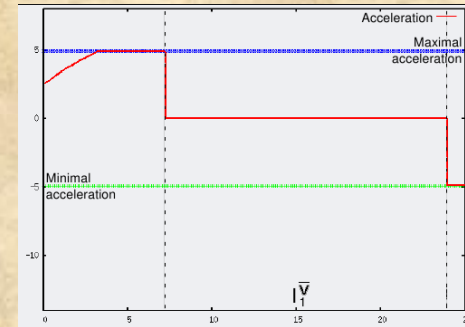
- Détermination des intervalles de temps sur lesquels les contraintes sur le mouvement ne sont pas respectées
- Bornes de contrôles dépassées => saturation du contrôle
- Bornes d'états dépassées => annulation du contrôle
- Profils polynômiaux par morceaux



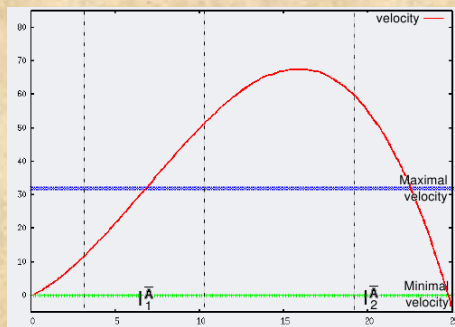
$a(t)$ avant saturation



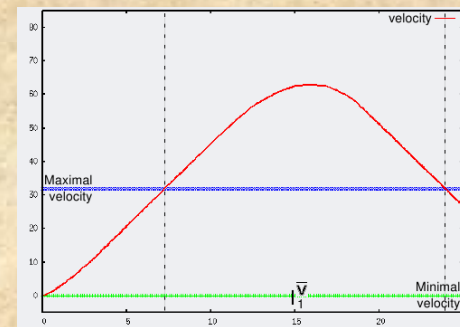
$a(t)$ après saturation de l'accélération



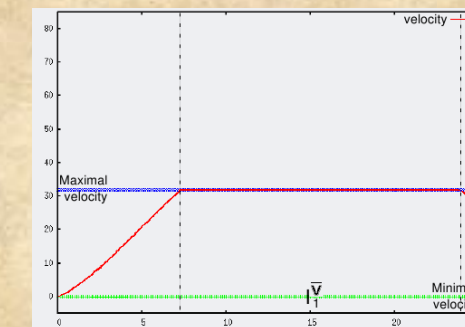
$a(t)$ après saturation et annulation de l'accélération



$v(t)$ avant saturation

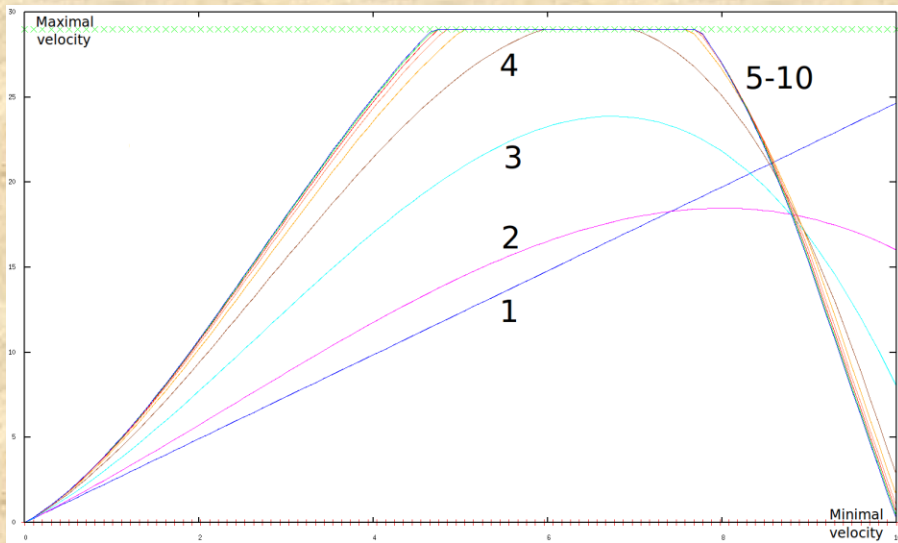


$v(t)$ après saturation de l'accélération

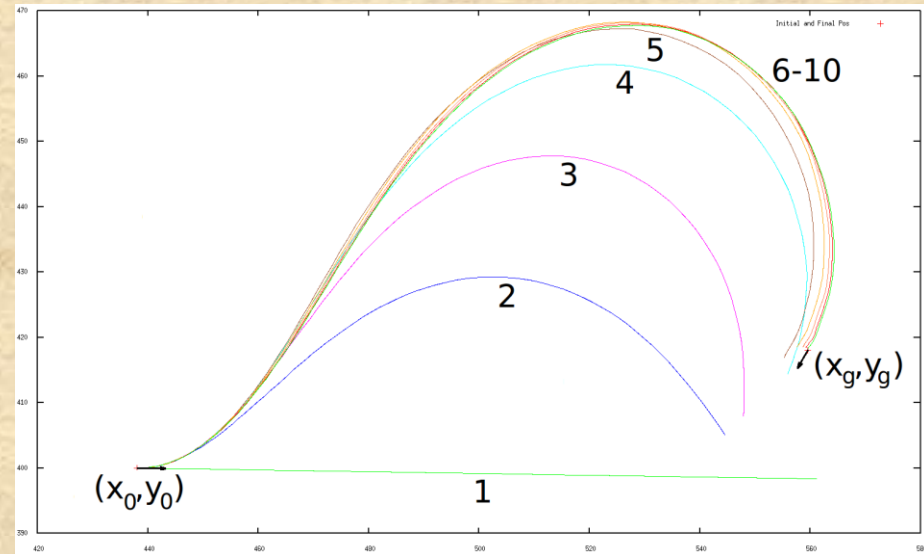


$v(t)$ après saturation et annulation de l'accélération

Exemple



$V(t)$



XxY

- Application à différents systèmes : robot différentiel, voiture, ...

Tiji : Performances

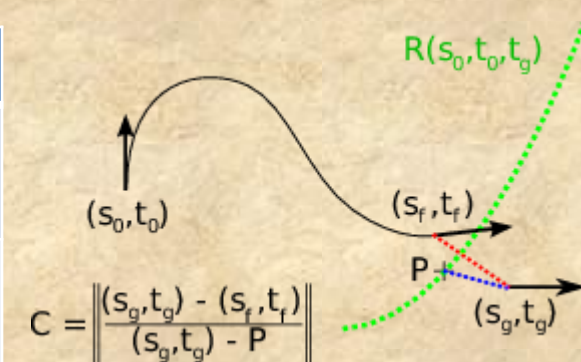
- Cas atteignable

| Système | Robot différentiel (sans base IG) | Robot différentiel (avec base IG) | Voiture (avec base IG) |
|--|-----------------------------------|-----------------------------------|------------------------|
| Taux de convergence (%) | 94.58 | 99.80 | 96.52 |
| Nombre moyen d'étapes requises | 6.38 | 3.23 | 7.08 |
| Temps moyen de calcul par trajectoire (ms) | 4.78 | 2.84 | 5.12 |

- Cas non atteignable

Nombre d'étapes de convergence max : 20

| Système | Robot différentiel | Voiture |
|---|--------------------|---------|
| Temps moyen requis par trajectoire (ms) | 13.33 | 15.92 |
| C : Coefficient d'évaluation moyen | 1.14 | 1.15 |



Tiji : Conclusions

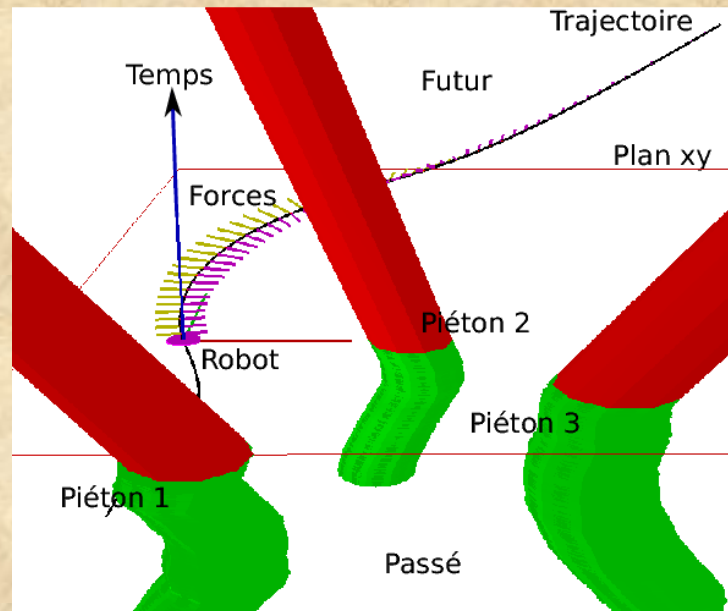
- Calcule une trajectoire entre deux états donnés à des temps fixés
- Méthode variationnelle par optimisation du contrôle d'entrée
- Atteint le but lorsque c'est possible
- Atteint un état « aussi près que possible » du but dans le cas contraire
- Calcul en temps-réel

Plan

- I. Approches de navigation existantes
- II. Déformation de mouvement
- III. Génération de trajectoires en temps contraint
- IV. Résultats expérimentaux**
- V. Conclusions et perspectives

Résultats en simulation

- Core i7 @ 2.6GHz, 6GB RAM, SE : Linux
- Localisation exacte du robot
- Positions et vitesses instantanées exactes des obstacles
- Calcul d'un modèle prévisionnel déterministe en ligne droite



Robot différentiel

- Dynamique :

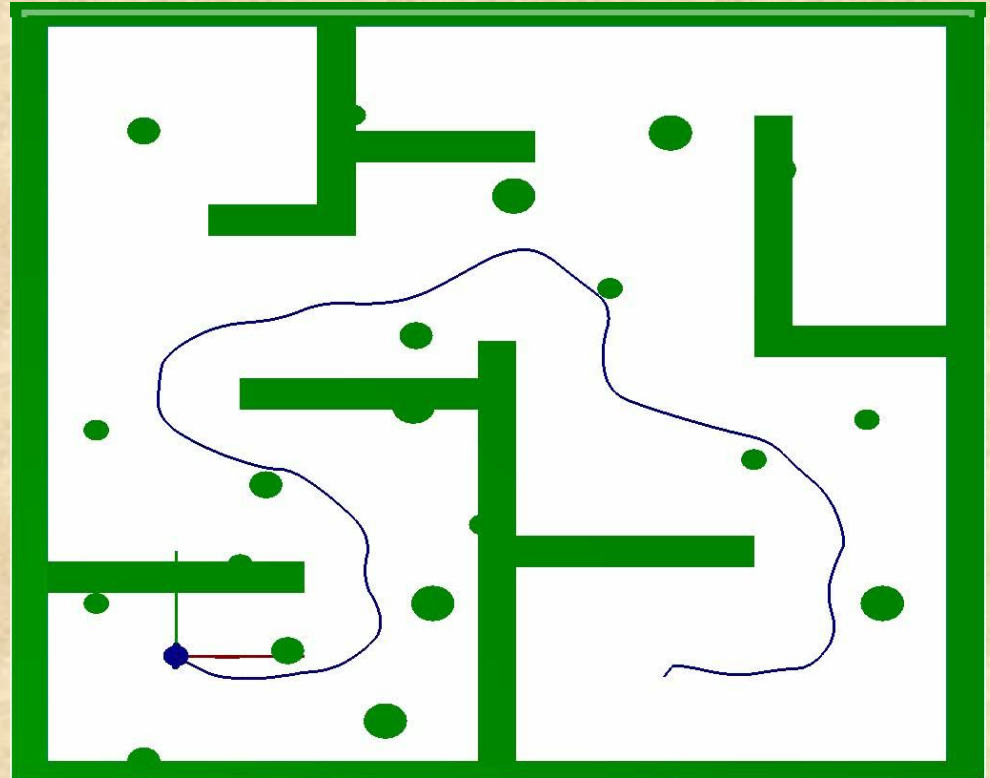
$$\begin{pmatrix} \dot{x} \\ \dot{y} \\ \dot{\theta} \\ \dot{\omega}_L \\ \dot{\omega}_R \end{pmatrix} = \begin{pmatrix} v \cos(\theta) \\ v \sin(\theta) \\ \omega \\ \mu_L \\ \mu_R \end{pmatrix}$$

- Contraintes :

$$(\mu_L, \mu_R) \in [-\mu_{max}, \mu_{max}], \quad (\omega_L, \omega_R) \in [-\omega_{max}, \omega_{max}]$$

- Contrôle :

$$(\mu_L, \mu_R)$$



Voiture

- Dynamique :

$$\begin{pmatrix} \dot{x} \\ \dot{y} \\ \dot{\theta} \\ \dot{\phi} \\ \dot{v} \end{pmatrix} = \begin{pmatrix} v \cos(\theta) \\ v \sin(\theta) \\ v \tan(\phi)/L \\ \zeta \\ a \end{pmatrix}$$

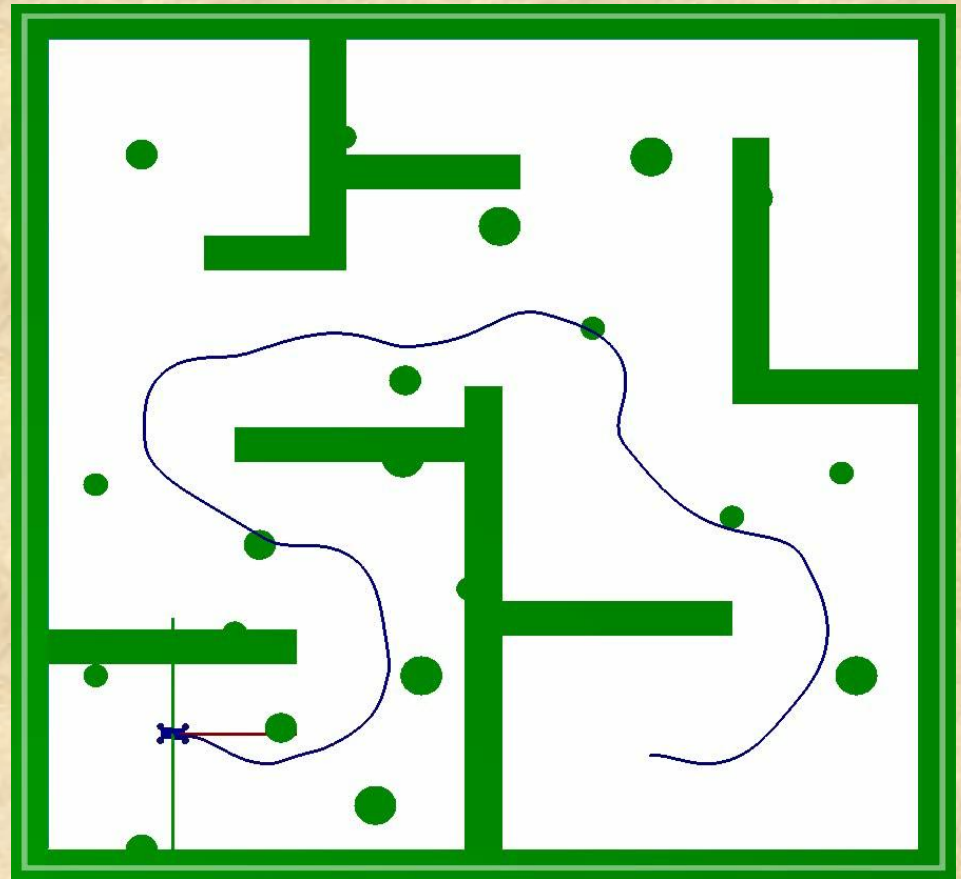
- Contraintes :

$$v \in [0, v_{max}], \quad |\phi| < \phi_{max}$$

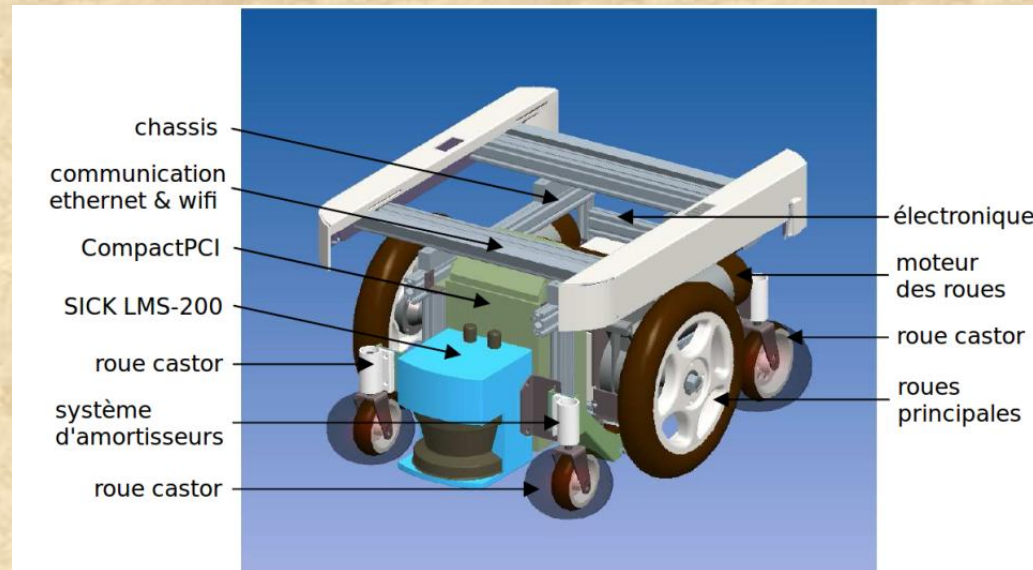
$$|a| < a_{max}, \quad |\zeta| < \zeta_{max}$$

- Contrôle :

$$(a, \zeta)$$

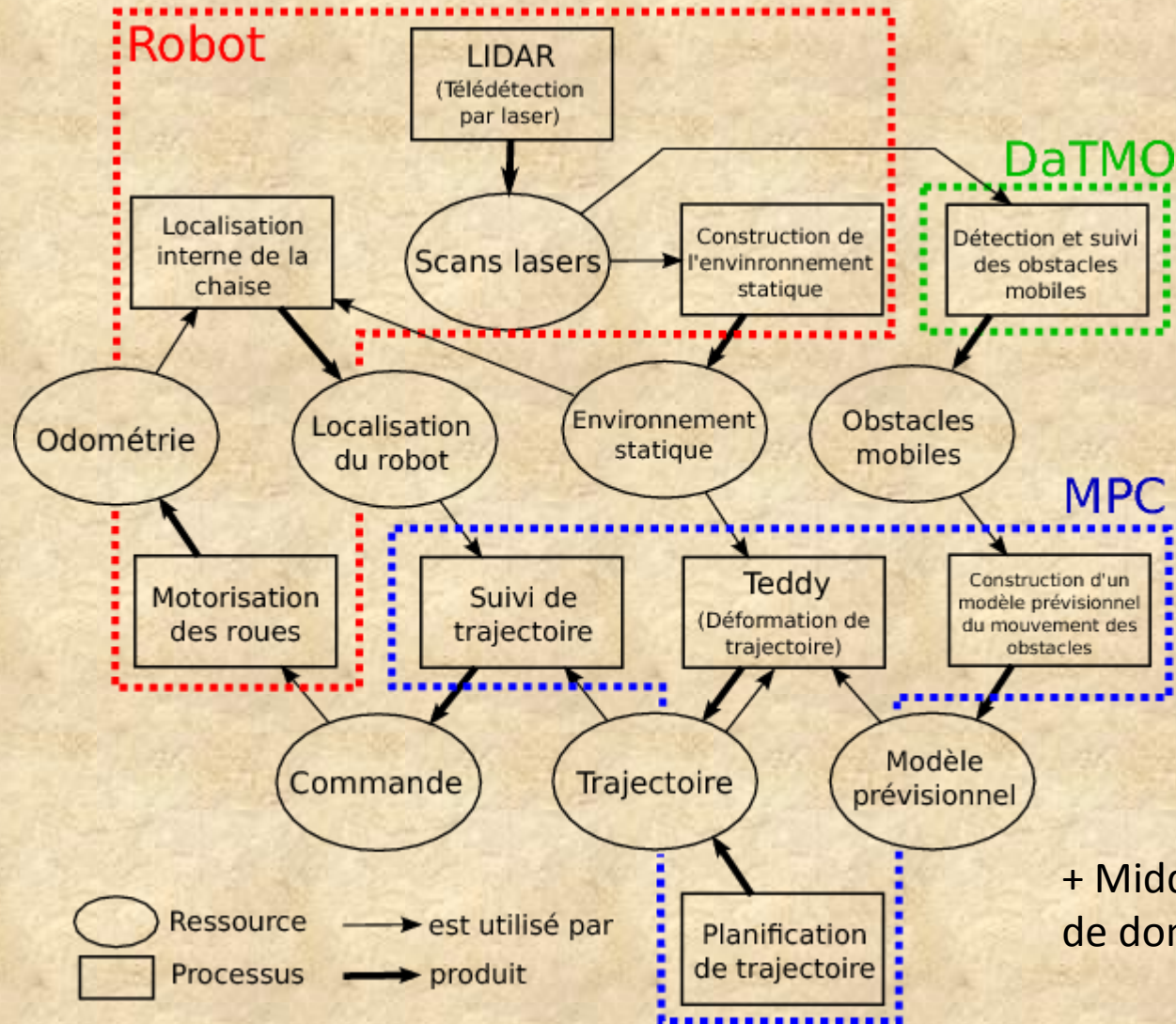


Application à une chaise roulante automatisée



- Dynamique :
$$\begin{pmatrix} \dot{x} \\ \dot{y} \\ \dot{\theta} \\ \dot{\omega}_L \\ \dot{\omega}_R \end{pmatrix} = \begin{pmatrix} v \cos(\theta) \\ v \sin(\theta) \\ \omega \\ \mu_L \\ \mu_R \end{pmatrix}$$
- Contrôle : (μ_L, μ_R)
- Contraintes : $(\mu_L, \mu_R) \in [-\mu_{max}, \mu_{max}]$, $(\omega_L, \omega_R) \in [-\omega_{max}, \omega_{max}]$

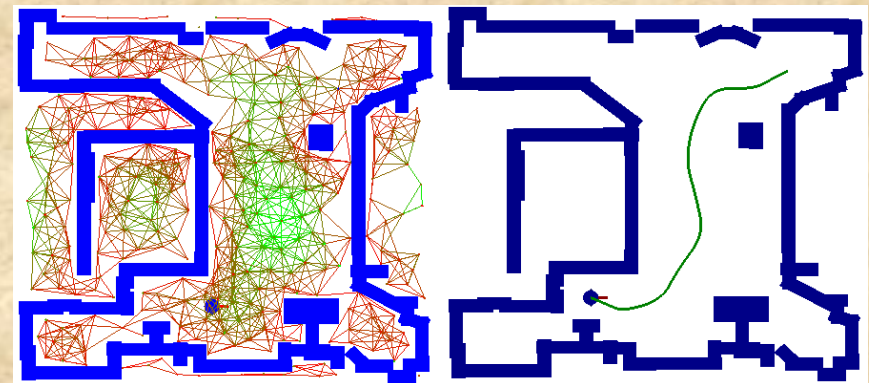
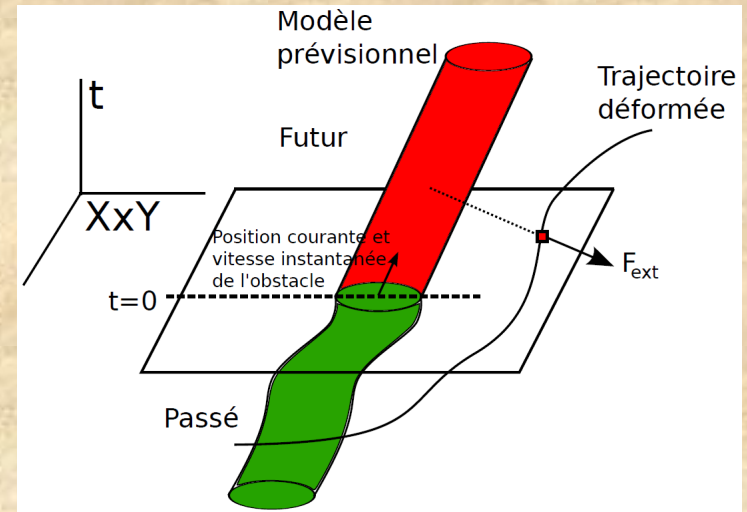
Architecture de navigation



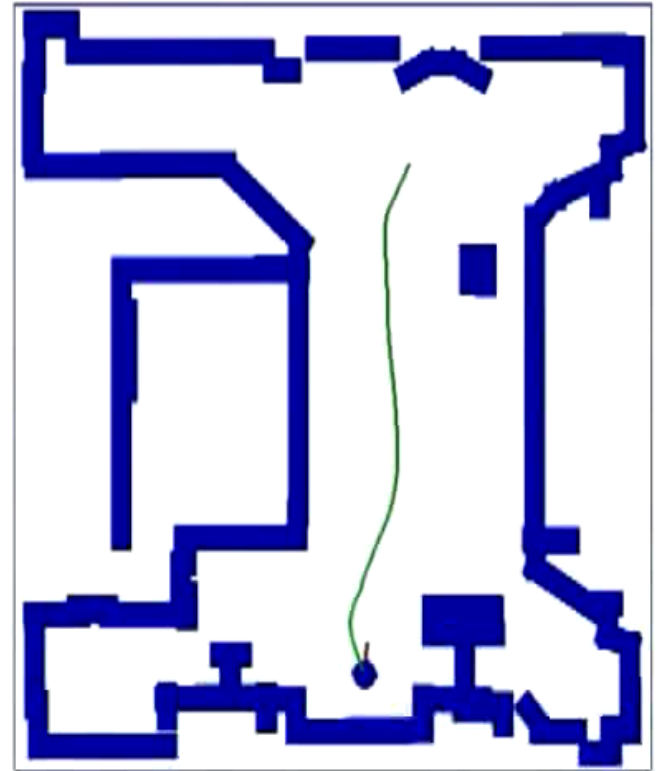
+ Middleware d'échange de données HUGR

Mise en place des différentes tâches de navigation

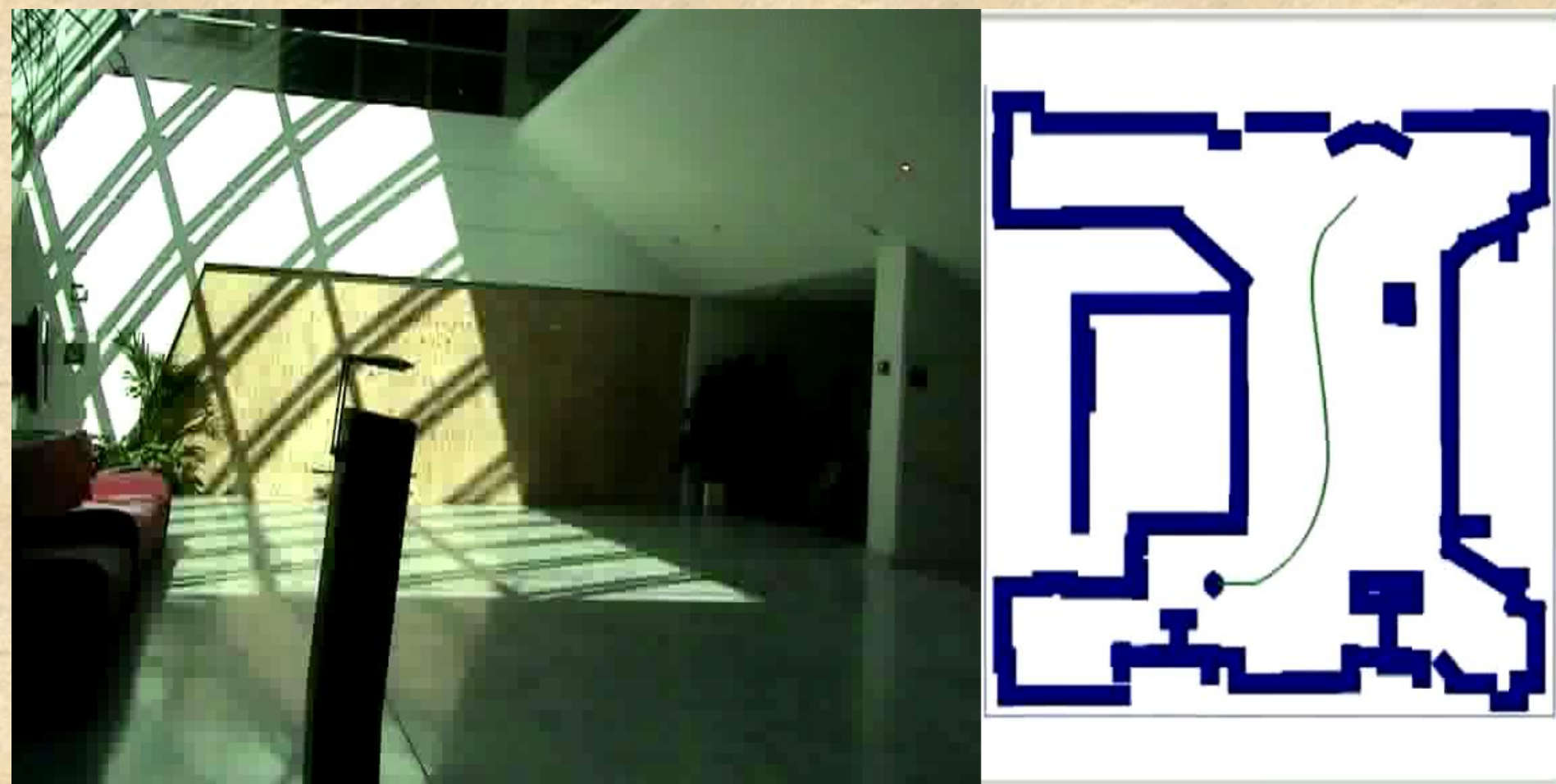
- Localisation
 - => odométrie + carte
- Environnement statique
 - => précalculé
- Environnement dynamique
 - Détection et suivi d'obstacles [VA09]
 - Fournit leur position et leur vitesse instantanée
 - Déduction d'un modèle prévisionnel déterministe
- Planification de trajectoire
 - Recherche de points de passage sur une carte de route
 - Remplacement par une trajectoire faisable générée par Tiji
- Évitement d'obstacles par déformation de trajectoire (Teddy)
- Suivi de trajectoire
 - Recherche d'un contrôle pour rejoindre la trajectoire à suivre basée sur Tiji



Scénario 1 : Cisaillement



Scénario 2 : Multiple obstacles



Plan

- I. Approches de navigation existantes
- II. Déformation de mouvement
- III. Génération de trajectoires en temps contraint
- IV. Résultats expérimentaux
- V. Conclusions et perspectives

Résumé des contributions

- Déformation de trajectoire Teddy
 - Conserve les propriétés de la déformation de chemin
 - Utilisation d'un modèle prévisionnel du comportement futur des obstacles mobiles
 - Déformations libres dans SxT : anticipation du mouvement des obstacles mobiles
 - Nécessité d'un générateur de trajectoire en temps contraint
- Générateur de trajectoires Tiji
 - Calcul de trajectoires entre deux états-temps
 - Méthode de génération de trajectoires variationnelle
 - États but non-atteignables : calcul d'une trajectoire s'arrêtant « aussi près que possible » du but
- Validation des résultats sur une chaise roulante automatisée

Perspectives

- Amélioration du modèle prévisionnel
- Amélioration des garanties de sécurité (ICS)
- Modélisation de l'incertitude du modèle prévisionnel et du contrôle
- Coordination multi-véhicules par déformation

Questions?

Annexes Teddy



Comment déformer?

Entrées : $\Gamma_{ST}^m = \{n_k, n_{k+1} \dots n_N\}$, modèle prévisionnel $B(t_m, t_h)$

Sorties : $\Gamma_{ST}^{\hat{m}} = \{\hat{n}_k, \hat{n}_{k+1} \dots \hat{n}_{\hat{N}}\}$

// Applications des forces répulsives et élastiques

$\Gamma_{ST}^{m'} = \emptyset$

pour chaque $n_i \in \Gamma_{ST}^m$ **faire**

$$n_i' = n_i + \mathbf{F}_{rep}(n_i) + \mathbf{F}_{ela}(n_i)$$

$$\Gamma_{ST}^{m'} = \Gamma_{ST}^m \cup n_i'$$

fpour

// Restauration de la cohérence temporelle

$$\Gamma_{ST}^{m''} = \text{RestaureCTemp}(\Gamma_{ST}^{m'})$$

// Maintient de la connectivité de la trajectoire

$\Gamma_{ST}^{m'''} = \emptyset$

pour chaque $n_i'' \in \Gamma_{ST}^{m''}$ **faire**

$$n_i''' = n_i'' + \mathbf{F}_{conn}(n_i'')$$

$$\Gamma_{ST}^{m'''} = \Gamma_{ST}^{m''} \cup n_i'''$$

fpour

// Rééchantillonnage de la trajectoire

$$\Gamma_{ST}^{\hat{m}} = \text{Rééchantillonne}(\Gamma_{ST}^{m'''})$$

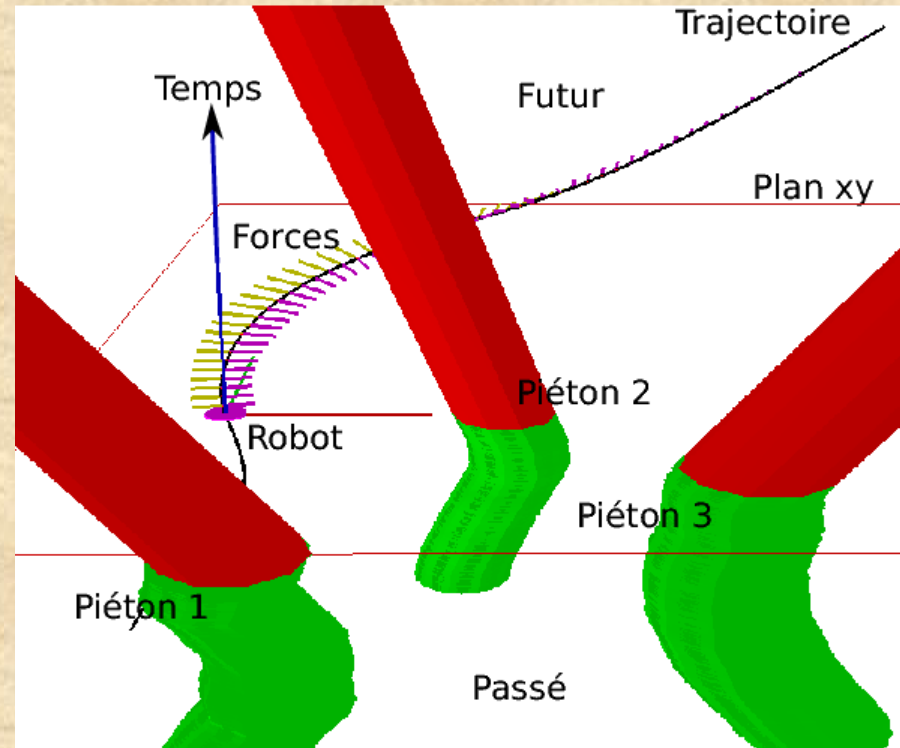
// Vérification de la validité de la trajectoire

si non valide($\Gamma_{ST}^{\hat{m}}$) **alors**

Déterminer un nouveau plan

fsi

Retourner($\Gamma_{ST}^{\hat{m}}$)



Comment déformer?

Entrées : $\{n_k, n_{k+1} \dots n_N\}$, modèle prévisionnel $B(t_m, t_h)$

// Applications des forces répulsives et élastiques

pour chaque n_i faire

$$n'_i = n_i + F_{rep}(n_i) + F_{ela}(n_i)$$

fpour

// Restauration de la cohérence temporelle

pour chaque n'_i faire

$$n''_i = n'_i + F_{ct}(n'_i)$$

fpour

// Maintient de la faisabilité par gén. de traj.

pour chaque n''_i faire

$$\hat{n}_i = n''_i + F_{conn}(n''_i)$$

fpour

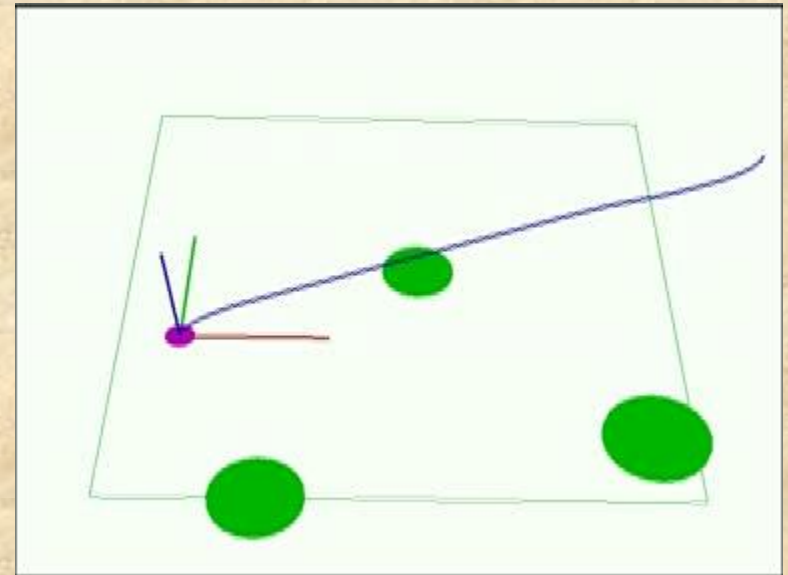
// Vérification de la validité de la trajectoire

si non valide $\{\hat{n}_k, \hat{n}_{k+1} \dots \hat{n}_{\hat{N}}\}$ alors

Appel du planificateur global

fsi

Retourner $\{\hat{n}_k, \hat{n}_{k+1} \dots \hat{n}_{\hat{N}}\}$



Déformation de trajectoire :

Conclusion

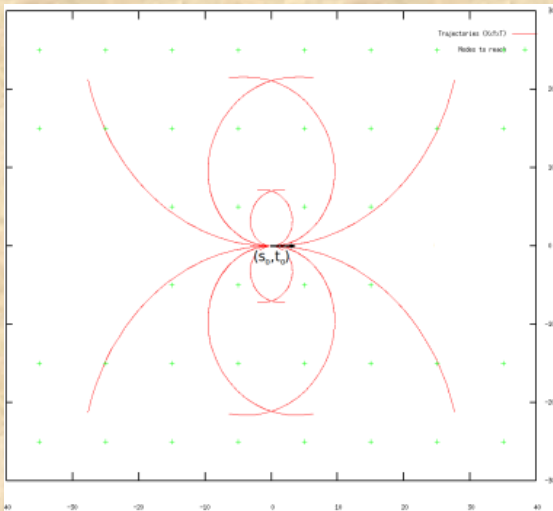
- Conserve les propriétés de la déformation de chemin
 - Évitement d'obstacles
 - Convergence vers le but
 - Déforme la trajectoire librement dans SxT
 - + utilisation d'un modèle prévisionnel du comportement des obstacles
- => permet d'anticiper leur mouvement
- Difficulté : Nécessité d'un générateur de trajectoire entre deux états donnés à des temps fixés
- => définition d'un nouveau générateur de trajectoires Tiji

Annexes Tiji

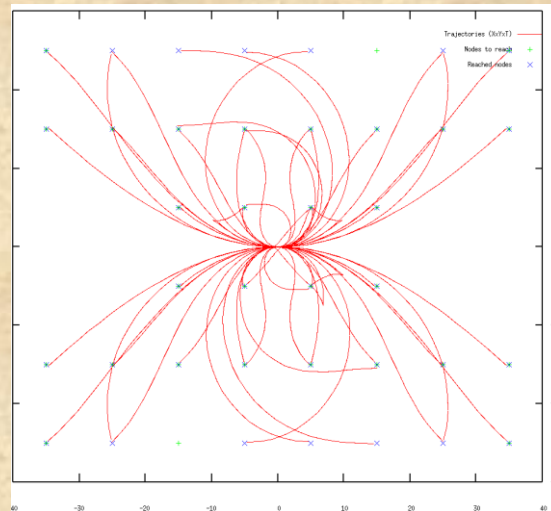


Base de paramètres initiaux

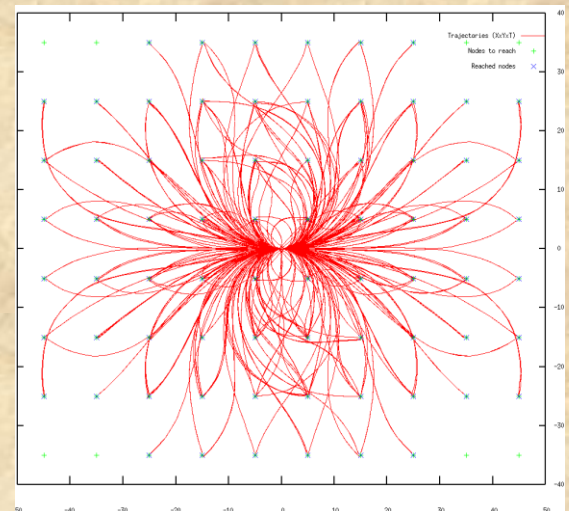
- Échantillonnage régulier sur l'espace d'état-temps
- Génération d'un ensemble de trajectoires initiales à partir d'un échantillonnage sur le contrôle
- Atteinte de l'ensemble des états-temps de proche en proche



Étape 1



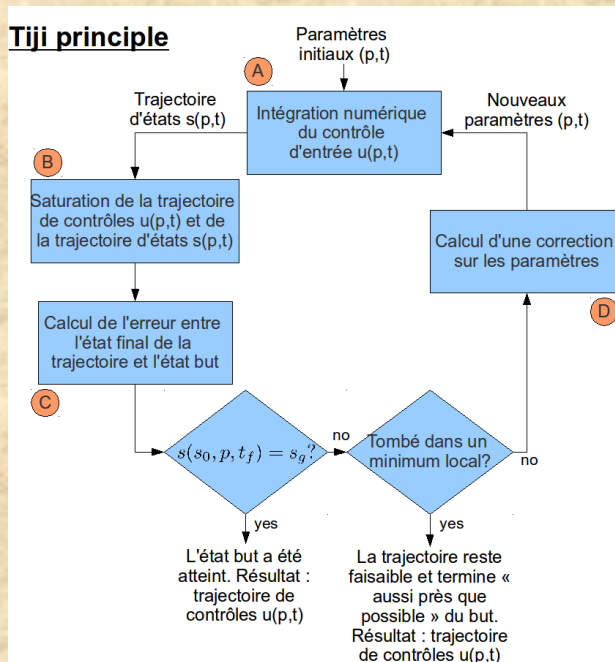
Étape 2



Étape 3

Calcul de l'erreur sur l'état final

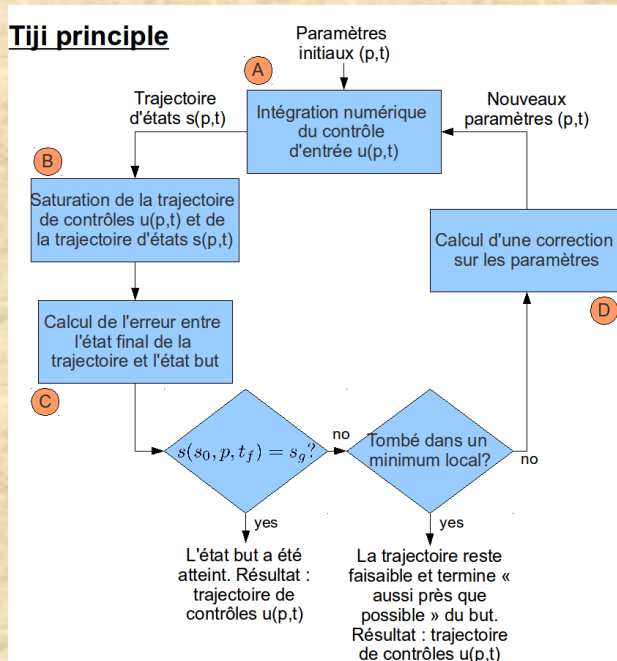
Tiji principe



$$\Delta s = s(s_0, p, t_f) - s_g$$

$$\Delta s < \epsilon \Rightarrow s_g \text{ atteint}$$

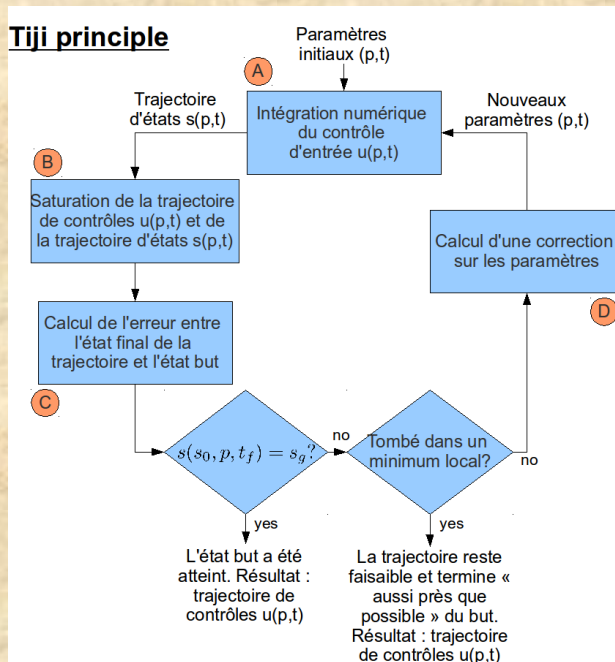
Calcul de la correction sur les paramètres



$$cor(p, t_f) = -\lambda \left[\frac{\partial^2 J}{\partial(p, t_f)^2} \right]^{-1} \left[\frac{\partial J}{\partial(p, t_f)} \right]$$

=> Nouveaux paramètres

Minimum local



Pas de convergence après un nombre fixé d'itérations
⇒ Minimum local

Résultat : $u(p,t)$

- garantie d'être admissible
- « aussi près que possible » du but

Résultats robot différentiel

- Dynamique :

$$\begin{pmatrix} \dot{x} \\ \dot{y} \\ \dot{\theta} \\ \dot{\omega}_L \\ \dot{\omega}_R \end{pmatrix} = \begin{pmatrix} v \cos(\theta) \\ v \sin(\theta) \\ \omega \\ \mu_L \\ \mu_R \end{pmatrix}$$

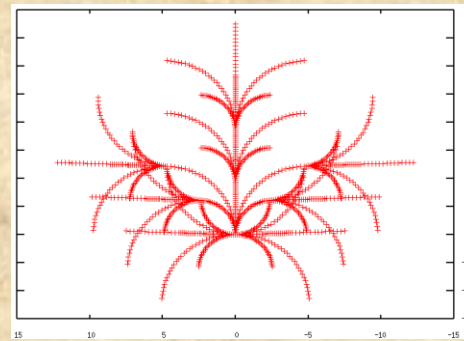
- Contraintes :

$$(\mu_L, \mu_R) \in [-\mu_{max}, \mu_{max}], \quad (\omega_L, \omega_R) \in [-\omega_{max}, \omega_{max}]$$

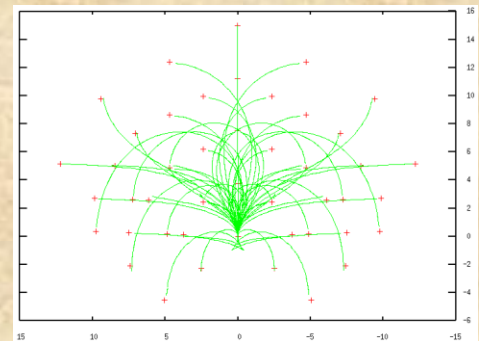
- Contrôle :

$$(\mu_L, \mu_R)$$

Cas atteignable :

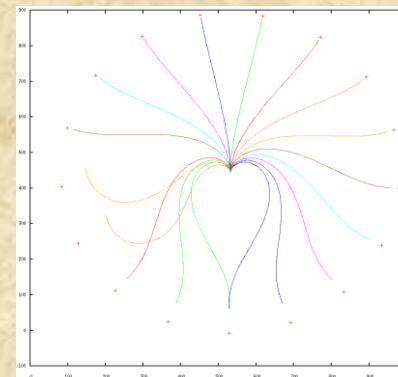


Arbre d'échantillonnage

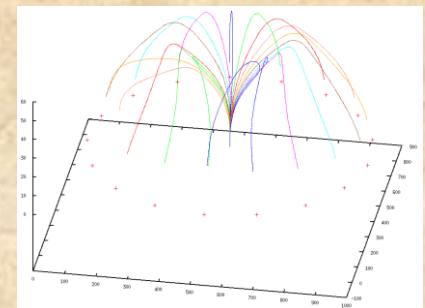


Trajectoires générées

Cas non atteignable :



XxY



XxYxV

Résultats voiture

- Dynamique :

$$\begin{pmatrix} \dot{x} \\ \dot{y} \\ \dot{\theta} \\ \dot{\phi} \\ \dot{v} \end{pmatrix} = \begin{pmatrix} v \cos(\theta) \\ v \sin(\theta) \\ v \tan(\phi)/L \\ \zeta \\ a \end{pmatrix}$$

- Contraintes :

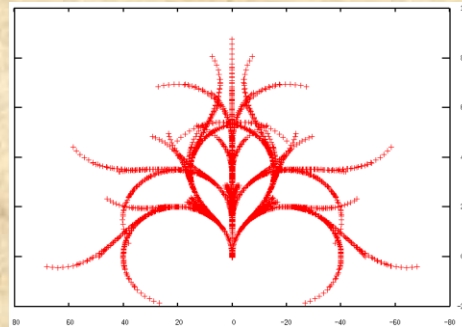
$$v \in [0, v_{max}], \quad |\phi| < \phi_{max}$$

$$|a| < a_{max}, \quad |\zeta| < \zeta_{max}$$

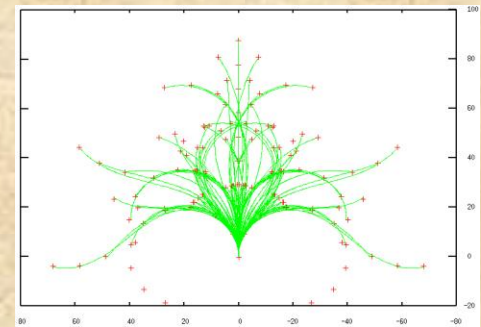
- Contrôle :

$$(a, \zeta)$$

Cas atteignable :

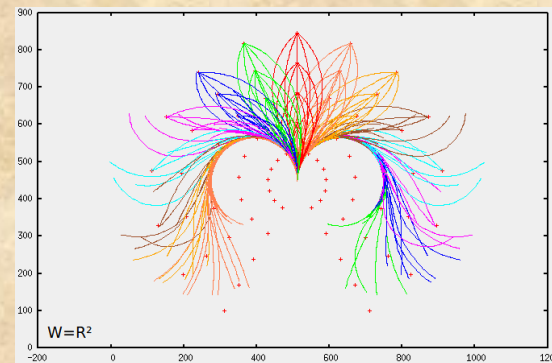


Arbre d'échantillonnage



Trajectoires générées

Cas non atteignable :

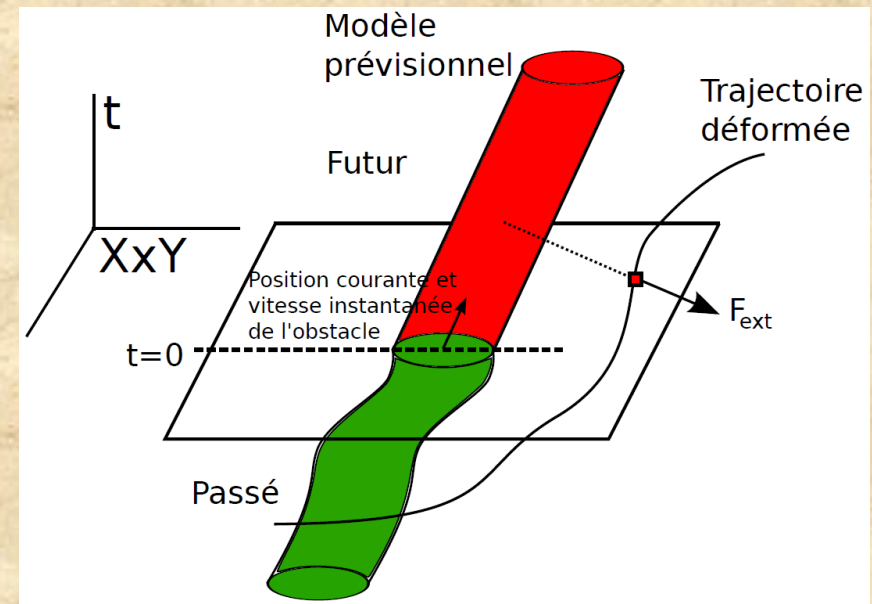


XxY

Annexes XPs

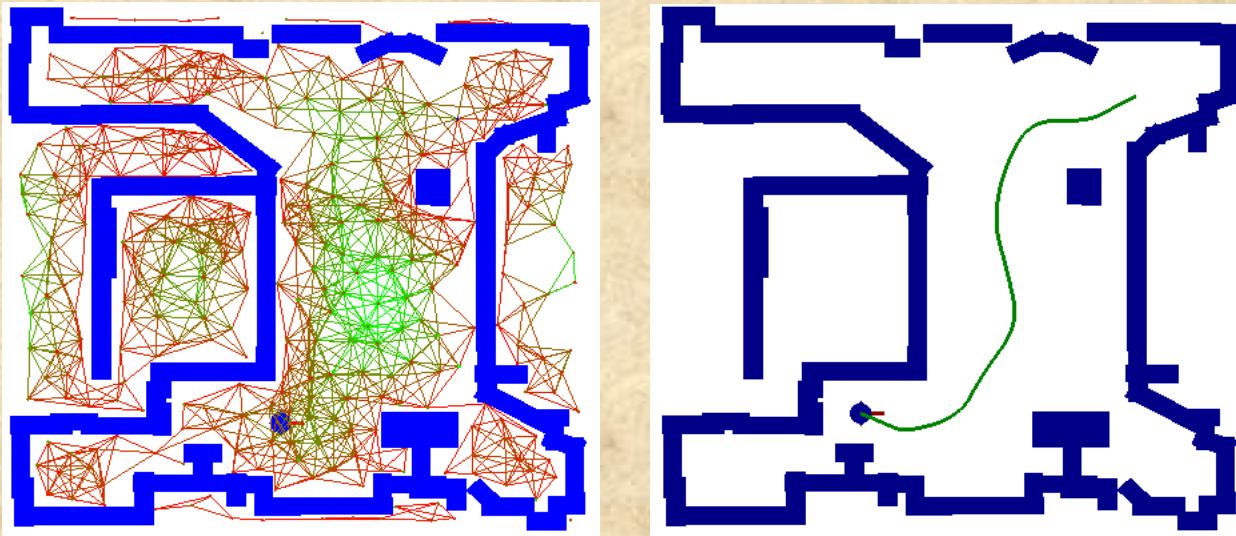
Où suis-je et qu'y a-t-il autour de moi?

- Localisation
 - => odométrie + carte
- Environnement statique
 - => précalculé
- Environnement dynamique
 - Détection et suivi d'obstacles [VA09]
 - Fournit leur position et leur vitesse instantanée
 - Déduction d'un modèle prévisionnel déterministe



Comment rejoindre le but à partir de ma position courante?

- Planification à partir d'une carte de route probabiliste



- Évitement d'obstacles par déformation de trajectoire (Teddy)

Comment exécuter ce mouvement?

Suivi de trajectoire utilisant Tiji

- Calcul d'une trajectoire à partir de la localisation relevée
- Possibilité de « rattraper » la trajectoire suivie en cas de déviation